

埼玉大学工学部 正員・山辺 正
埼玉大学工学部 正員 吉中 龍之進

1. はじめに

軟岩では破壊時のモールの包絡線は、強い非線形性を示すものが多い。このような軟岩の強度関係の非線形性の表現にべき関数形の破壊規準が適用しうる事は、すでに発表した通り^{1), 2)}である。本報告では、この破壊規準に基づいて軟岩の排水強度を推定する方法について考察する。

2. 材料定数 β の推定

泥岩、シルト岩、凝灰質岩、風化花崗岩など、各種軟岩の乱さない供試体について実施した力学試験結果から求めた破壊規準は、次式で表わされるべき関数¹⁾で、表現しうる¹⁾

$$\tau_m / \gamma_{mo} = d(\sigma'_m / \sigma'_{mo})^\beta \quad \dots (1)$$

$$\text{ここで } \tau_m = (\sigma_1 - \sigma_3) / 2, \sigma'_m = (\sigma'_1 + \sigma'_2 + \sigma'_3) / 3 \dots (2)$$

更に、 τ_{mo} 、 σ'_{mo} は、それぞれ(2)式において $\sigma'_1 = \sigma'_3 = 0$ の時の値である。なお、 d 、 β は材料定数で、 q_u にして 2.1 kgf/cm^2 の過圧縮粘土から 2600 kgf/cm^2 の硬ドロマイトについての三軸圧縮試験結果を検討した結果、 β は 1.12 近く、 $0.94 \sim 1.23$ 、 β は $0.44 \sim 0.91$ の値をとることが判明した³⁾。この材料定数 β を推定するため以下のような実験を行なった。

岩石材料においては、引張試験の代りに圧裂引張試験が良く行なわれる。この試験による荷重中心線上の破壊時の応力は、岩石の引張強度を σ_t とすれば、 $\sigma_1 = 3\sigma_t$ 、 $\sigma_2 = 0$ 、 $\sigma_3 = -\sigma_t$ (σ_0) である。この試験を Jaeger ら³⁾の行なったように一定拘束圧力下 ($\sigma_2 > 0$) で実施することにより、より一般的な三主応力下での強度関係を求めることができる。すなわち、三軸圧裂試験 (confined Brazilian test) である。

図1, 2は、シルト岩 ($e_0 = 0.94$, $q_u = 21.0 \text{ kgf/cm}^2$) と、凝灰質砂岩 ($e_0 = 0.42$, $q_u = 138 \text{ kgf/cm}^2$) について求めた三軸圧縮試験結果と、圧裂試験結果を(1)式による表現としたものである。図1, 2より、 $d \approx 1$ の岩石については上述の引張応力状態(1)式が、ほぼ成立するところがわかる。

以上の実験結果から、(1)式における材料定数 β の推定を行なう。上述した圧裂引張試験時 ($\sigma_2 = 0$) の応力状態は、(1)式から次式で表

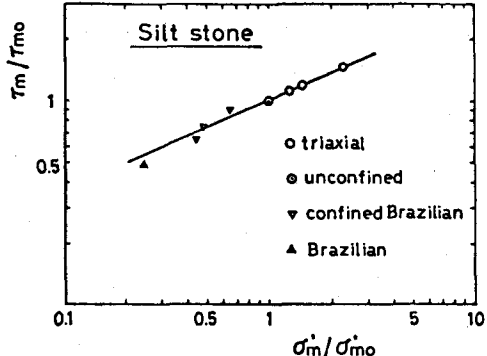


図1 シルト岩の強度

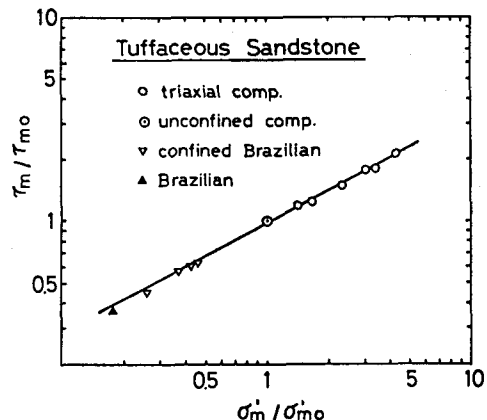


図2 凝灰質砂岩の強度

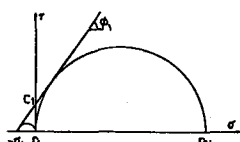


図3 一軸圧縮と一軸引張

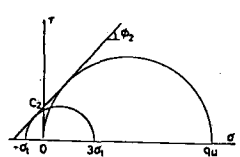


図4 一軸圧縮と圧裂引張

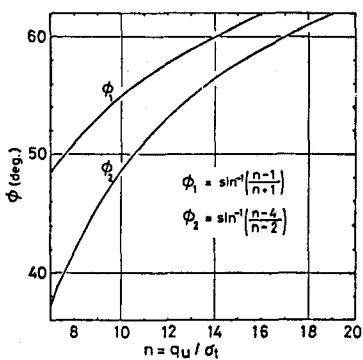


図5 ゼイ性度 n と摩擦角 ϕ

現できる。 $(4\sigma_t/q_u) = d(2\sigma_t/q_u)^\beta$ ここで、 α は1に近い岩石が多いので、上式をゼイ性度 $n (= q_u/\sigma_t)$ で整理し、 $d = 1$ とすれば次の関係が得られる。

$$\left. \begin{aligned} \beta^* &= \log(n/4) / \log(n/2) \\ n &= q_u/\sigma_t, \quad d = 1 \end{aligned} \right\} \dots \quad (3)$$

(3)式により、ゼイ性度 n を用いて β の推定値 β^* を求めることが可能である。

3. 破壊強度の推定

q_u と σ_t が既知のとき図3及び図4に示す二円の共通接線の勾配を中、中とすれば、これらはゼイ性度 n に対しても図5の関係にある。この中の推定値が過大な値を与えることは図7～9の実験結果からも明らかである。

次に、三軸圧縮試験時 ($\sigma_2' = \sigma_3'$) に Mohr の破壊包絡線が非線形となることを考慮した排水強度の推定を行なう。 $\sigma_2' = \sigma_3'$ の時、破壊時の平均有効主応力 σ_{mf}' が変数 m を用いて次式で与えられるとすれば

$$3\sigma_{mf}' = (\sigma_1' + 2\sigma_3')_f = m q_u \quad \dots \quad (4)$$

(1), (4)式から最大軸差応力 $(\sigma_1 - \sigma_3)_f$ は次式で与えられる。

$$(\sigma_1 - \sigma_3)_f = d q_u m^\beta \quad \dots \quad (5)$$

その時、(4), (5)式から $\sigma_3'_f$ を求めると次式となる。

$$\sigma_3'_f = q_u (m - d m^\beta) / 3 \quad \dots \quad (6)$$

(6)式において $d = 1$ とし、(3)式で得られた β の推定値 β^* を用いる事により次式が得られる。

$$m^{\beta^*} - m + 3(\sigma_3'/q_u) = 0 \quad \dots \quad (7)$$

(7)式から、(q_u, σ_t, σ_3)をえた時の intact な岩石の排水強度を推定できる。これらの関係を、 n をパラメータとして図6に示す。図6を用いて実験値との比較を行なうと図7～9となる。これらの実験値のうち図7, 9では全領域において応力～歪関係が直線化を示した。また、図8では直線化を示したが、図8中のモール円 ($\sigma_2 = 100$ kN/m) は、全て軸歪 $\epsilon_1 = 15\%$ の時の値である。

4. まとめ

べき関数破壊規準を用いた材料定数 n を1と仮定して (q_u, σ_t, σ_3) をえた時の intact な軟岩の排水強度を推定し実験値と比較した。但し、 $\alpha = 1$ であっても三軸圧縮応力下の強度関係と圧裂引張状態が必ずしも連続しない場合があり本推定法の適用範囲を明確にする必要がある。

5. 参考文献 1) 吉中・山辺 (79) 第12回岩盤力学に関するシンポジウム, 31～35 2) 吉中・山辺 (80) 第13回岩盤力学に関するシンポジウム, 16～20 3) Jaeger & Hoskins (66) Journal of Geophysical Res., vol. 71, 2651～2659

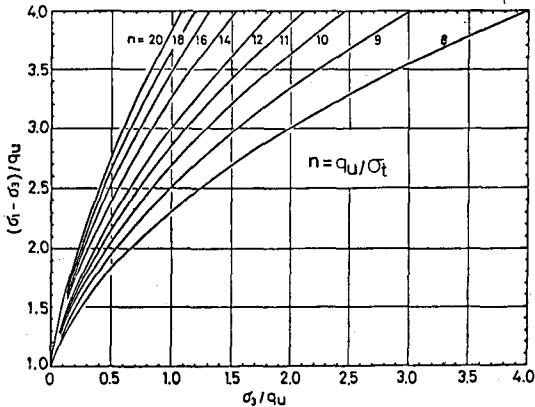


図6 排水強度の推定曲線

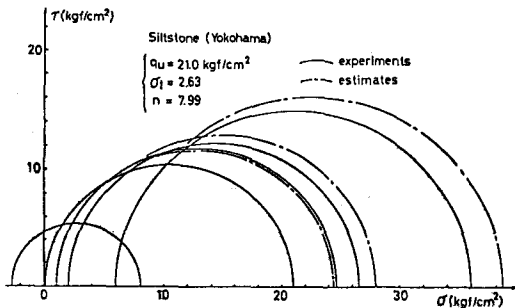


図7 シルト岩の実験値と推定値

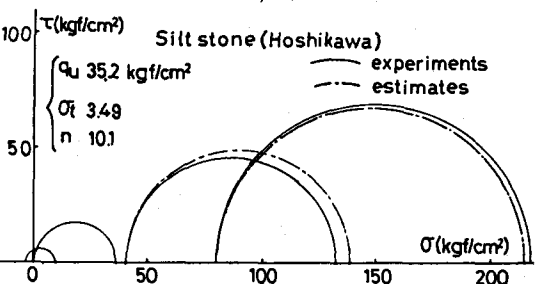


図8 シルト岩(星川)の実験値と推定値

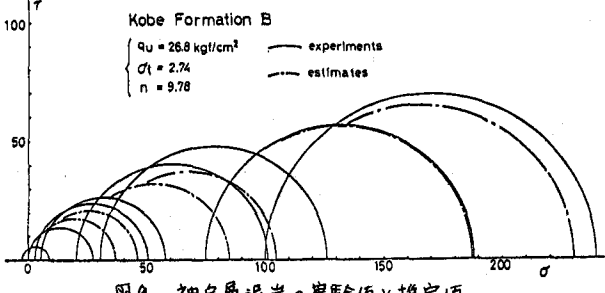


図9 神戸層泥岩の実験値と推定値